

КИНЕТИКА РАЗРУШЕНИЯ АЛЮМИНИЕВОГО СПЛАВА АМг6М В УСЛОВИЯХ ОТКОЛА

Г. И. Канель, С. В. Разоренов, В. Е. Фортов

(Черноголовка)

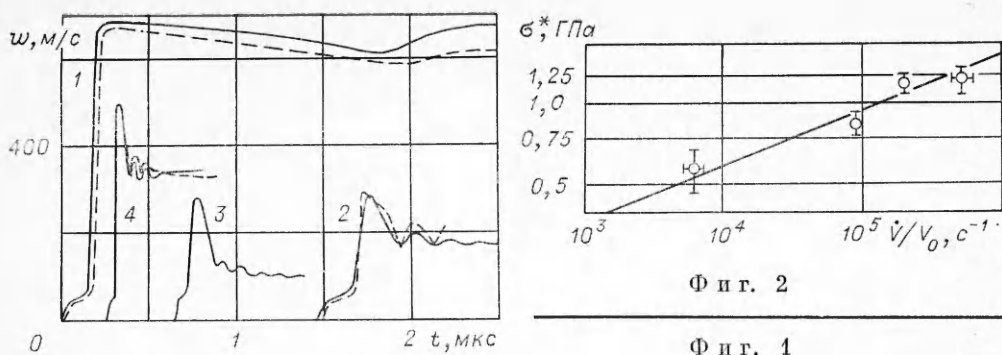
Известно, что величина разрушающих напряжений зависит от длительности действия нагрузки, однако количественное выражение этой зависимости остается неясным. В условиях откола при весьма кратковременных воздействиях получены, как сообщается, например, в [1], величины растягивающих напряжений в металлах, приближающиеся к значениям теоретической прочности на разрыв. Однако использовавшийся в [1] метод изучения откольных явлений, основанный на анализе сохранившихся после испытаний образцов, может давать значительное завышение получаемых значений разрушающих напряжений [2]. В этом отношении наиболее достоверным и информативным является метод определения откольной прочности по результатам непрерывной регистрации профилей скорости свободной тыльной поверхности образцов $w(t)$. В данной работе проведены измерения профилей $w(t)$ и определены величины откольной прочности алюминиевого сплава АМг6М в широком диапазоне характерных длительностей падающих импульсов нагрузки. С учетом полученных данных модифицирована предложенная ранее [3] континуальная модель разрушения и проведено сопоставление с экспериментальными данными результатов расчетов с использованием предложенной кинетики разрушения.

Исследуемые образцы изготавливались из листового материала толщиной 1,8–10 мм. Поперечные размеры образцов составляли 80–120 мм. Одномерные импульсы сжатия в образцах генерировались ударом алюминиевой фольги толщиной 0,19–0,40 мм со скоростью 675 ± 15 м/с или детонацией заряда взрывчатого вещества (взрывной линзы) в контакте с образцом. Метание фольг осуществлялось с помощью взрывных устройств, подобных описанным в [2]. Непрерывная регистрация профилей скорости свободных тыльных поверхностей образцов проводилась с использованием емкостных датчиков [4]. В зависимости от требуемых разрешающей способности и времени регистрации диаметр измерительного электрода 5–20 мм, а расстояние между электродом и поверхностью образца 1–6 мм соответственно.

Результаты регистрации изменения скорости поверхности образца w со временем t приведены сплошными линиями на фиг. 1, где каждая кривая получена усреднением данных 2–5 опытов. Условия нагружения указаны в таблице. Применение емкостных датчиков диаметром 5 мм обеспечивает разрешение времени нарастания скорости поверхности во фронте ударной волны на уровне 10–15 нс. Для ударных волн с амплитудой ниже 3 ГПа регистрируемое время нарастания существенно больше этого предела, что согласуется с результатами измерений с применением лазерной интерферометрии [5].

На профилях $w(t)$ четко выделяется выход на поверхность упругого предвестника с амплитудой 0,37 ГПа, что соответствует динамическому пределу текучести $\sigma_t = 0,18$ ГПа. Вслед за упругим предвестником фиксируется выход на поверхность пластической ударной волны и головной

Номер кри- вой на фиг. 1	Условия нагру- жения	Толщина об- разца, мм	w_0 , м/с	Δw , м/с	Δh , мм	$\frac{\dot{w}}{10^6}$, м/с^2	σ^* , ГПа	ΔE , 10^5 Дж/м ²
1	Взрывная лин- за	10,0	685 ± 15	75 ± 15	4,7	66 ± 5	$0,57 \pm 0,1$	—
2	Ударник, $\delta =$ $= 0,40$ мм	9,6	283 ± 6	113 ± 5	0,61	950 ± 50	$0,83 \pm 0,08$	0,18
3	Ударник, $\delta =$ $= 0,19$ мм	4,4	285 ± 5	160 ± 5	0,34	2100 ± 100	$1,15 \pm 0,05$	0,15
4	»	1,8	495 ± 15	160 ± 15	0,18	5500 ± 1000	$1,2 \pm 0,12$	0,19



Фиг. 1

части падающей волны разрежения. Отражение импульса сжатия от свободной поверхности сопровождается появлением растягивающих напряжений в образце, которые приводят к его разрушению. В результате падения растягивающих напряжений при разрушении появляется волна сжатия (откольный импульс). Затухающие колебания скорости поверхности связаны с многократными отражениями откольного импульса от поверхности образца и зоны разрушения. Из приведенных профилей видно, что на фоне колебаний скорости поверхности заметное торможение откалывающейся пластины продолжается в течение примерно 0,2 мкс. По-видимому, это и есть характерное время, необходимое для завершения процесса разрыва образца в данных условиях.

Растягивающие напряжения в плоскости откола σ^* определялись из профилей $w(t)$ по разности Δw скорости на первом максимуме и первом минимуме [6, 7]:

$$\sigma^* = (1/2)\rho_0 c_0 (\Delta w + \delta w),$$

где $\rho_0 = 2,61 \text{ г}/\text{см}^3$ — плотность материала; c_0 — объемная скорость звука, принятая равной средней для алюминиевых сплавов величине 5,3 км/с; δw — поправка, учитывающая шагон фронтом откольного импульса, распространяющимся по растянутому материалу со скоростью продольной упругой волны $c_l = 6,4 \text{ км}/\text{с}$, разгрузочной части исходного импульса сжатия, имеющей скорость c_0 . С учетом градиентов скорости в падающем импульсе w_1 и во фронте откольного импульса w_2 величина δw оценивается, как нетрудно показать, выражением

$$\delta w = \left(\frac{h}{c_0} - \frac{h}{c_l} \right) \frac{|\dot{w}_1 \dot{w}_2|}{|\dot{w}_1| + |\dot{w}_2|},$$

где h — толщина откольной пластины, определяемая по периоду ревербации в ней откольного импульса: $h = (1/2)c_l \Delta t$. Найденные значения откольной прочности сплава приведены в таблице. Там же даны значения работы разрушения, оцененные по величине потери кинетической энергии ΔE откалывающейся пластины в процессе ее отделения от образца [8]. Погрешность определения работы разрушения составляет $\sim 20\%$, в этих пределах величина ΔE практически одинакова для трех условий нагружения.

Появление минимума на профиле $w(t)$ можно интерпретировать как свидетельство достижения скорости роста объема трещин или пор \dot{V}_t , равной скорости деформирования в разгрузочной части падающего импульса $\dot{V} \approx -(1/2)\dot{w}_1/\rho_0 c_0$ — при таком соотношении скоростей происходит экранировка части падающего импульса [9]. Судя по соотношению времен первого и последующих колебаний скорости поверхности, заметной задержки разрушения нет, и полученные значения разрушающих напряжений практически соответствуют началу разрушения.

Результаты измерений откольной прочности представлены на фиг. 2 в виде зависимости разрушающих напряжений σ^* от скорости деформи-

рования \dot{V}/V_0 в логарифмических координатах. В пределах погрешности измерений экспериментальные данные описываются соотношением

$$(1) \quad \sigma^* = 0,093(\dot{V}/V_0)^{0,2},$$

откуда зависимость начальной скорости разрушения от напряжения может быть представлена в виде

$$(2) \quad \dot{V}_t = 1,45 \cdot 10^5 \sigma^* V_0,$$

где σ , ГПа; \dot{V}_t , $\text{см}^3 \text{ г}^{-1} \text{ с}^{-1}$; V_0 — удельный объем сплошного материала при нулевом давлении.

Откольные явления в алюминии АМг6 ранее исследовались [10, 11] путем наблюдения сохраненных после испытаний образцов и определения пороговых скоростей соударения, при которых появляются первые признаки разрушения или полный откол. При этом в [10] зарождение разрушения наблюдалось при напряжениях 1,3—1,55 ГПа (пороговые скорости соударения пластин толщиной 1—3 и 2—5 мм — 180—230 м/с), а полный откол — при напряжениях 1,5—1,8 ГПа (пороговые скорости соударения — 210—265 м/с). В то же время в [11] при нормальных начальных условиях начало откола наблюдалось лишь при напряжении 3 ГПа, хотя длительность импульса нагрузки в этой работе была наибольшей. И те и другие данные значительно превышают значения откольной прочности, полученные из профилей скорости поверхности образцов. По-видимому, в основном это расхождение связано с отсутствием объективных критериев для установления порогов разрушения. Можно также отметить не анализируемое обычно влияние условий сохранения и краевых эффектов на результат определения пороговых скоростей соударения.

Надежность метода определения разрушающих напряжений по результатам регистрации движения поверхности образца убедительно подтверждается наблюдениями появления откольного импульса в экспериментах с увеличением амплитуды исходной нагрузки от малых значений до величины, превышающей откольную прочность образца [12, 13]. При сильной зависимости (2) скорости разрушения от напряжения едва ли можно говорить о возможности значительных перенапряжений, поэтому полученные в [10, 11] значения откольной прочности следует признать завышенными. Тем не менее расхождение результатов различных способов исследования откольных явлений указывает на необходимость дальнейшего изучения физического механизма зарождения и развития разрушений в данных условиях.

Соотношение (1) может быть использовано для оценки возможности инициирования разрушения и толщины откольной пластины при профилях импульсов нагрузки приблизительно треугольной формы. Для расчетов разрушений в случаях произвольно изменяющейся нагрузки наиболее перспективен континуально-кинетический подход [14], описывающий разрушение как непрерывный процесс накопления повреждений в материале. В [3] предложено простое кинетическое соотношение, описывающее скорость роста удельного объема трещин или пор \dot{V}_t как функцию действующего напряжения σ и достигнутой степени разрушения V_t :

$$(3) \quad \dot{V}_t = K_1 \left(|\sigma| - \sigma_0 \frac{a}{\dot{V}_t + a} \right) (V_t + V_{t0}) \operatorname{sign}(\sigma) \quad \text{при } |\sigma| > \sigma_0 \frac{a}{\dot{V}_t + a},$$

где σ_0 — начальный порог разрушения; V_{t0} — удельный объем потенциальных очагов разрушения; K_1 — константа, обратно пропорциональная вязкости материала; a — константа, определяющая падение порогового напряжения по мере разрушения и имеющая величину порядка 0,01 V_0 . При численном моделировании экспериментов соотношение (3) обеспечивает хорошее согласие с результатами измерений, когда характерная длительность исходного импульса нагрузки изменяется примерно на порядок. Представленные в данной работе эксперименты охватывают два порядка

по скорости деформирования, и точности соотношения (3) для описания полученных данных оказывается недостаточно. Этого следовало ожидать, так как ясно, что реально в материале существует спектр очагов разрушения, инициируемых при различных уровнях напряжения. В связи с этим константа V_{t_0} в соотношении (3) заменена выражением

$$(4) \quad V_{t_0} = K_2 \sigma^n.$$

Так как при подстановке (4) в (3) начальная скорость разрушения получается равной

$$\dot{V}_t = K_1 K_2 \sigma^{n+1},$$

то для определения константы n и произведения $K_1 K_2$ можно воспользоваться соотношением (2). Выбор значений коэффициентов K_1 и K_2 остается довольно произвольным, но практика расчетов откольных разрушений с использованием (3) при $V_{t_0} = \text{const}$ показывает, что хорошее согласие с экспериментальными данными достигается при величине $K_1 \sim 10^{-1} \text{ м} \cdot \text{с}/\text{кг}$. Величина предела прочности σ_0 является некоторой промежуточной между истинным напряжением разрыва в статических условиях и значениями откольной прочности; в данной работе она оценивалась линейной экстраполяцией экспериментальных результатов по откольной прочности к нулевой скорости деформирования.

На фиг. 1 штриховыми линиями показаны профили $w(t)$, полученные при численном моделировании проведенных экспериментов с использованием кинетики разрушения в виде (3), (4). Расчет проводился сквозным конечно-разностным методом по схеме «крест» с расщеплением по физическим процессам. Ввиду того что амплитуды моделируемых нагрузок относительно невелики, в качестве уравнения состояния использовалась ударная адиабата алюминия. Полный удельный объем вещества V представлялся суммой $V = V_{\text{спл}}^{(p)} + V_t$, давление в сплошной компоненте $V_{\text{спл}}$ принималось равным среднему по сечению. В случае нагружения взрывной линзой в расчете задавался треугольный профиль скорости левой границы, в остальных вариантах рассчитывалось соударение пластин. Сопротивление деформированию описывалось моделью упруговязкопластического тела с нелинейной вязкостью η , определяемой выражением

$$\eta = \eta_0 \exp[-(|\tau| - \tau_t)/\tau_0(1 + \alpha\varepsilon)],$$

где τ — максимальное напряжение сдвига; τ_t — напряжение сдвига на статическом пределе текучести; $\varepsilon = \int_{V_0}^V \frac{dV}{V}$ — деформация; α — константа упрочнения; τ_0 , η_0 — константы материала. При напряжениях $|\tau| < \tau_t$ материал ведет себя упруго. Зависимость модулей упругости от давления строилась в предположении постоянства коэффициента Пуассона [15]. Предполагалось, что по мере разрушения предел текучести, модуль сдвига и коэффициент вязкости уменьшаются пропорционально пределу прочности, т. е.

$$\tau_t^{\Phi} = \tau_t a / (a + V_t), \quad \eta^{\Phi} = \eta a / (a + V_t), \quad G^{\Phi} = G(p) a / (a + V_t).$$

Приведенные на фиг. 1 данные получены в расчетах со следующими константами материала: $K_1 = 10^8 \text{ ГПа}^{-1} \text{ с}^{-1}$, $K_2 = 1,5 \cdot 10^{-3} \text{ ГПа}^{-4}/\rho_0$, $\sigma_0 = 0,5 \text{ ГПа}$, $a = 10^{-2}/\rho_0$, $\eta_0 = 10^5 \text{ кг} \cdot \text{м}^{-1} \text{ с}^{-1}$, $\tau_t = 0,065 \text{ ГПа}$, $\tau_0 = 5 \text{ МПа}$, $\alpha = 10$. Сопоставление экспериментальных и расчетных данных показывает, что предложенная феноменологическая модель разрушения обеспечивает вполне удовлетворительное описание наблюдаемых откольных явлений в широком диапазоне скоростей деформирования.

В заключение авторы благодарят Л. Г. Ермолова за помощь в подготовке и проведении экспериментов.

ЛИТЕРАТУРА

1. Борин И. П., Новиков С. А. и др. О кинетике разрушения металлов в субмикро-секундном диапазоне долговечности.— ДАН СССР, 1982, т. 266, № 6.
2. Канель Г. И. Сопротивление металлов откольному разрушению.— ФГВ, 1982, № 3.
3. Сугак С. Г., Канель Г. И. и др. Численное моделирование действия взрыва на железную плиту.— ФГВ, 1983, № 2.
4. Иванов А. Г., Новиков С. А. Метод емкостного датчика для регистрации мгновенной скорости движущейся поверхности.— Приборы и техника эксперимента, 1963, № 1.
5. Johnson T. N., Barker L. M. Dislocation dynamics and steady plastic wave profiles in 6061-T6 aluminium.— J. Appl. Phys., 1969, vol. 40, N 11.
6. Новиков С. А., Дивнов И. И., Иванов А. Г. Исследование разрушения стали, алюминия и меди при взрывном нагружении.— Физика металлов и металловедение, 1966, т. 21, № 4.
7. Степанов Г. В. Откольное разрушение металлов в плоских упругопластических волнах нагрузки.— Проблемы прочности, 1976, № 8.
8. Канель Г. И. О работе откольного разрушения.— ФГВ, 1982, № 4.
9. Канель Г. И., Черных Л. Г. О процессе откольного разрушения.— ПМТФ, 1980, № 6.
10. Тарасов Б. А. Сопротивление разрушению пластин при ударном нагружении.— Проблемы прочности, 1974, № 3.
11. Батьков Ю. В., Новиков С. А. и др. Влияние температуры образца на величину разрушающих напряжений при отколе в алюминиевом сплаве АМГ-6.— ПМТФ, 1979, № 3.
12. Cochran S., Banner D. Spall studies in uranium.— J. Appl. Phys., 1977, vol. 48, N 7.
13. Канель Г. И., Петрова Э. И. Прочность титана ВТ6 в условиях ударно-волнового нагружения.— В кн.: Детонация. Черноголовка, 1984.
14. Davison L., Stevens A. L. Continuum measures of spall damage.— J. Appl. Phys., 1972, vol. 43, N 3.
15. Воробьев А. А., Дремин А. И., Канель Г. И. Зависимость коэффициентов упругости алюминия от степени сжатия в ударной волне.— ПМТФ, 1974, № 5.

Поступила 24/VII 1983 г.

УДК 532.527 : 535.214

ВИХРЕОБРАЗОВАНИЕ ПРИ ВОЗДЕЙСТВИИ ЛАЗЕРНОГО ИЗЛУЧЕНИЯ НА ПОЛИМЕРЫ

А. Э. Аверсон, М. В. Алексеев, В. П. Борисов
(Чебоксары)

Воздействие лазерного излучения на различные вещества широко исследуется с точки зрения газодинамики выброса продуктов испарения или разложения при коротких импульсах большой плотности энергии [1—4]. В меньшей степени изучены эти вопросы при плотностях излучения, используемых в настоящее время для исследования механизма воспламенения твердых горючих веществ [5—6].

В данной работе исследована гидродинамика оттока продуктов деструкции полимеров под действием лазерного излучения с плотностью потока $q < 10 \text{ кВт/см}^2$. В качестве мишени использовались образцы из полиметилметакрилата (ПММА) и зонита размером, намного превышающим характерный размер пятна облучения.

Опыты проводились в среде воздуха при $T = 293 \text{ К}$, $p = 10^5 \text{ Па}$ в закрытой камере объемом $0,1 \times 0,1 \times 0,3 \text{ м}^3$, снабженной окнами для наблюдения и ввода лазерного излучения. Луч непрерывного лазера с длиной волны $\lambda = 10,6 \text{ мкм}$ (или $\lambda = 1,06 \text{ мкм}$) фокусировался сверху на поверхность исследуемого вещества сферическим зеркалом, при перемещении которого диаметр пятна облучения изменялся в пределах 1—4 мм. Длительность импульса облучения задавалась механическим затвором с разрешением 0,2 мс, а плотность падающего потока регулировалась в пределах $20\text{--}10^4 \text{ Вт/см}^2$ путем изменения либо выходной мощности лазера, либо диаметра пятна облучения.

Визуализация течения продуктов деструкции производилась методом лазерного ножа [7] в стrobоскопическом режиме. Для этого луч гелий-неонового лазера системой цилиндрических линз преобразовывался в плоскопараллельный и прерывался обтюратором с заданной частотой. Для наблюдения за характером движения окружающей среды в камере создава-